

مدل سازی سرطان پستان با استفاده از مواد شیمیایی و بررسی تاثیر رادیوداروی P^{32} بر سلول‌های سرطان حاصل

احمد همتا^{*}، سعید حمیدی[†] Ph.D.

۱- دانشگاه اراک، دانشکده علوم، گروه زیست شناسی، کد پستی ۸۳۴۹-۸۳۸۱۵۶، اراک، ایران

۲- دانشگاه اراک، دانشکده علوم، گروه فیزیک، کد پستی ۸۳۴۹-۸۳۸۱۵۶، اراک، ایران

* پست الکترونیک نویسنده مسئول: a-hamta@araku.ac.ir

تاریخ پذیرش: ۱۳۹۱/۸/۳۰

تاریخ دریافت: ۱۳۹۱/۴/۲۷

چکیده

هدف: توانایی داروی رادیواکتیو P^{32} برای درمان و کنترل سرطان پستان و بررسی توزیع این رادیو دارو در موش‌های مبتلا مورد بررسی این مقاله می‌باشد.

مواد و روش‌ها: ۱۰ میلی‌گرم بر کیلوگرم وزن بدن از کارسینوژن DMBA به رتهای نژاد SD تحت آزمایش خورانده شد. تومورهای به قطر ۱۰ تا ۱۵ میلی‌متر برای آزمایش انتخاب شدند. رادیو دارو بر اساس الگوی تهیه شده به تومورهای به فاصله ۳ و ۵ و ۷ روز تزریق گردید. در این فاصله توزیع رادیودارو در بدن موش، توسط دستگاه دتکتوریدورسیدیم مورد ارزیابی قرار گرفت. پس از پایان دوره‌ی تیمار حیوان بیهوده و در شرایط استریل تومور را بطور کامل خارج و دود فرمالین ۱۰ درصد قرار داده شد. برش‌هایی از تومورها با استفاده از دستگاه تیشو پروسسور مورد پردازش و تهیه قرار گرفتند. پس از مراحل پاساز بافتی و برش‌گیری، نمونه‌های از طریق رنگ آمیزی هماتوکسیلین-ائوزین مورد بررسی قرار گرفت.

نتایج: بررسی هیستولوژیک مقاطع تهیه شده از بافت‌های توموری مovid این مطلب بود که پاتولوژی تومورهای القایی ایجاد شده توسط DMBA در موش‌های صحرائی مورد استفاده در این تحقیق، شباهت زیادی با تومورهای پستانی در انسان داشت. ۵ روز بعد از تزریق رادیوفسفر مجاری و غدد تومورال توسط باقیمانده‌های سلول‌های اپیتلیال پوشانیده شده بود. بسیاری از سلول‌های از غشای پایه جدا شده و به داخل حفره‌های غددی ریزش پیدا کرده بودند. سلول‌های باقیمانده دارای هسته کوچک و کروماتینی متراکم و سیتوپلاسم نیز حالت فشرده و متراکم داشت. مناطق اطراف محل تزریق دارو به شعاع حدود ۷ تا ۸ میلی‌متر تمامی سلول‌ها نکروزه شده و تشکیل حفره‌ای در داخل تومور داده بودند.

نتیجه گیری: این مشاهدات نفوذ و تاثیر بیشتر تشعشعات ساطع شده از فسفر ۳۲ در بافت توموری را نشان می‌دهد و چنانچه نقاط تزریق با فاصله مناسب در تومور صورت گیرد توانایی نابودی تومور در زمان کوتاه تری را خواهد داشت.

واژگان کلیدی: رادیو دارو، سرطان پستان، فسفر ۳۲، DMBA، تابش بتا

است که مربوط به اندازه ذرات آن می‌باشد (۴).

بررسی چگونگی تاثیر این دارو در تومورهای القایی ایجاد شده توسط (7,12-Dimethylbenz(a)anthracene) DMBA (۲) در حیوانات خانگی مانند موش صحرائی (رت) و خرگوش می‌تواند راهنمای مناسبی برای کاربرد بهینه آن در انسان باشد. ایجاد تومورهای سطحی و localize به منظور امکان تزریق فسفر رادیواکتیو و سپس مطالعه روند بهبود موش‌های مبتلا، بیوپسی و مطالعه تغییرات حاصله در مراحل مختلف، بررسی میزان تجمع دارو در اندام‌ها و بافت‌های مختلف موش‌های مبتلا و تعیین تغییرات بافتی در محل تزریق و نواحی اطراف آن و از بین رفتن احتمال تومورها از اهداف این تحقیق بوده است.

مواد و روش‌ها

۱۰۸ موش صحرائی از نژاد Sprague Dawley از انسستیتو پاستور تهیه گردید (در تمامی مراحل این تحقیق اصول اخلاقی کار با حیوانات آزمایشگاهی رعایت شده است). بعد از تطبیق پذیری با شرایط محیط (۱۲ ساعت روشنایی و ۱۲ ساعت تاریکی) و رسیدن به وزن حدود ۱۵۰ گرم، و سن ۵۰ تا ۵۴ روزگی حیوانات بطور اتفاقی به ۳ گروه به شرح جدول ۱ تقسیم گردیدند.

مقدمه

یکی از بیماری‌های مهلک دامنگیر انسان سرطان است لذا مطالعه در خصوص روش‌های مبارزه با سرطان یکی از عناوین مهم تحقیقات در دنیا محسوب می‌گردد. استفاده از رادیوداروها در مبارزه با سرطان دارای تاریخچه طولانی است و هم‌اکنون نیز از این روش برای کنترل و یا درمان سرطان استفاده گسترده‌ای در دنیا و همچنین کشور ایران می‌گردد. توانایی P^{32} برای درمان سرطان پستان و بررسی چگونگی توزیع این رادیودارو در موش‌های مبتلا مورد بررسی این مقاله می‌باشد. از پرکاربردترین رادیوداروها می‌توان به P^{32} Chromic اشاره نمود (۱). P^{32} یکی از داروهای رادیواکتیو است که دارای تابش ۱۰۰ درصد بتا با انرژی ماغزیم ۱۷۱۰ کیلو الکترون ولت (متوسط ۶۹۴/۷ کیلو الکترون ولت) و نیمه عمر ۱۴/۳ روز و عمق نفوذ ۸ میلی‌متر می‌باشد. ذرات این رادیو دارو ۶۰۰ تا ۱۳۰۰ نانومتر می‌باشد (۲) و از آن دارو بصورت تزریق برای کنترل تومورهای سرطانی استفاده می‌گردد. عمق نفوذ اشعه بتا حاصل از P^{32} در بافت‌های بدن معادل ۷/۶ میلی‌متر می‌باشد (۳). جذب بالای فسفر در بافت‌های استخوانی رادیوداروهای فسفات P^{32} را به گزینه‌های بسیار مناسب در تسکین و درمان مبتلایان به سرطان استخوان تبدیل کرده است. از جمله علل استفاده این رادیودارو انتشار کم آن به بافت‌های مجاور تومور و همچنین به سایر اندام‌های بدن

جدول ۱: گروه بندی رت‌های مورد استفاده در این تحقیق و مشخصات هر یک از گروه‌ها

گروه‌ها	تعداد رت	گروه بندی داخلی	دوز تزریقی	موارد استفاده	قطر تومور
کنترل	۳۶	سه گروه ۱۲ تائی	روغن کنجد ۱ میلی‌گرم	دوز اولیه (۱۲ سر)	۲ نمونه برای مطالعه
دریافت	۳۶	سه گروه ۱۲ تائی	دوز ثانویه (۱۲ سر)	بدون دریافت رادیودارو (۱۲ سر)	هیستوپاتولوژی
کننده	۳۶	سه گروه ۱۲ تائی	دوز اولیه (۱۲ سر)	درون رادیودارو (۱۲ سر)	آنونه برای مطالعه
DMBA	۳۶	سه گروه ۱۲ تائی	دوز ثانویه (۱۲ سر)	همراه با دریافت رادیودارو (۱۲ سر)	شروع تزریق دارو، هیستوپاتولوژی و اندازه گیری قطر تومور حدود ۲۰ میلی‌متر
دریافت	۳۶	سه گروه ۱۲ تائی	دوز اولیه (۱۲ سر)	همراه با دریافت رادیودارو (۱۲ سر)	آنونه برای مطالعه
کننده	۳۶	سه گروه ۱۲ تائی	دوز ثانویه (۱۲ سر)	همراه با دریافت رادیودارو (۱۲ سر)	شروع تزریق دارو، هیستوپاتولوژی و اندازه گیری قطر تومور حدود ۲۰ میلی‌متر
DMBA	۳۶	سه گروه ۱۲ تائی	دوز اولیه (۱۲ سر)	همراه با دریافت رادیودارو (۱۲ سر)	آنونه برای مطالعه
و رادیو دارو	۳۶	سه گروه ۱۲ تائی	دوز اولیه (۱۲ سر)	همراه با دریافت رادیودارو (۱۲ سر)	هیستوپاتولوژی

به ۲۰ میلی‌متر رسیدند از مرکز تومور به سمت حاشیه آن به فاصله ۷ میلی‌متر تزریق گردید. جهت بررسی اندام‌های دریافت کننده رادیودارو به یک گروه موش به تعداد ۸ سر به روش درون رگی صفاقی و به یک گروه موش به تعداد ۸ سر به روش درون رگی رادیودارو تزریق گردید و با استفاده از دستگاه دتکتور یدورسیدیم (NaI) تجمع رادیودارو در اندام‌های مختلف اندازه گیری گردید

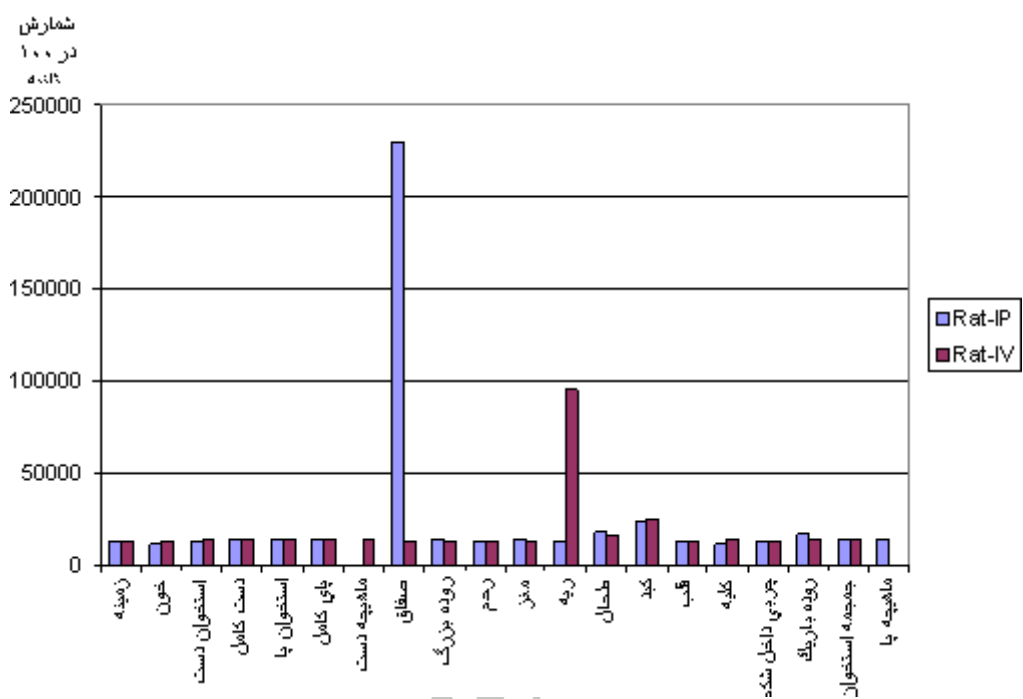
به گروه دوم و سوم یک دوز ۵ میلی‌گرم از DMBA مخلوط با ۱ میلی‌گرم روغن کنجد از راه خوارکی (به عنوان دوز اولیه) داده شد این کار را در طی ۱ هفتۀ بعدی تکرار شد (دوز ثانویه). به گروه‌های کنترل ۱ میلی‌گرم روغن کنجد خورانده شد.

رادیودارو P^{32} از مرکز پزشکی هسته‌ای تهیه و با توجه به نیم عمر ۱۴ روزه آن در زمانی که قطر تومور در نمونه‌های گروه سوم

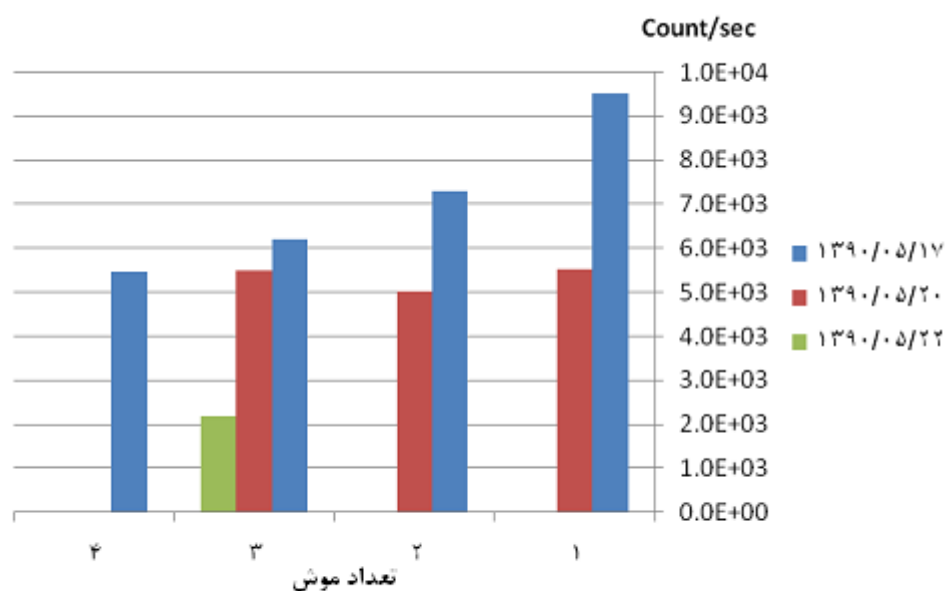
در نمودار ۲ مشخص است فقط موش شماره ۳ تا آخرین مرحله اندازه گیری زندگی بوده است.

(نمودار ۱). با استفاده از سیستم اندازه‌گیری، میزان تابش تومورهای موش زنده در ۳، ۵ و ۷ روز پس از تزریق فسفر ۳۲ اندازه‌گیری شد. نمودار ۲ نمایش داده شده است. همانطور که

نمودار ۱: نتایج اندازه گیری تجمع فسفر ۳۲ در اندام های مختلف موش در تزریق داخل رگی (IP) و داخل صفاقی (IV) با استفاده از آشکار ساز یدور سلیم



نمودار ۲: اندازه گیری تابش تومورهای موش زنده در ۳، ۵ و ۷ روز پس از تزریق فسفر ۳۲



و در دمای ۳۹ درجه سانتی گراد قرار گرفت تا نمونه ها کاملا به روی لام بچسبند. از هر بلوك یک لام جهت رنگ آمیزی هماتوکسیلین- انوزین در نظر گرفته شد تا به منظور مطالعه و تشخیص پاتولوژی استفاده گردد.

رنگ آمیزی مقاطع بافتی هماتوکسیلین- انوزین (H&E): قبل از رنگ آمیزی، لام ها در دمای ۵۵ درجه سانتی گراد به مدت ۱ تا ۲ ساعت در فور به جهت دیبارافینه شدن قرار داده شد و پس از حذف گزیل و الكل سلول ها، از محلول هماتوکسیلین هارپس جهت رنگ آمیزی برش های بافتی استفاده شد. جهت دائمی کردن نمونه ها از چسب انتلان بین لام و لام استفاده گردید و سپس لام ها به مدت ۱۲ ساعت در هوای آزاد قرار گرفت تا کاملا خشک شوند.

نتایج

نتایج بدست آمده از بررسی هیستولوژیک مقاطع تهیه شده از بافت های توموری مovid این مطلب است که پاتولوژی تومورهای ایجاد شده در موش های صحرائی مورد استفاده در این تحقیق، شباهت زیادی با تومورهای پستانی در انسان دارد. پیش از این نیز Russo (۵) گزارش نموده که اکثر تومورهای پستانی القا شده توسط DMBA از نوع ادنو کارسینوما بوده و مشخصات تومورهای پستان انسانی را از نظر رشد وابسته به هورمون و هیستولوژی تقلید می کند و بنابراین مدل حیوانی مناسبی جهت تحقیق در مورد کارسینوژن تومورهای پستان انسانی می باشد. همچنین مطالعات بیوشیمیایی انجام گرفته در مطالعات پیشین شباهت های بیشتری را بین این مدل با نمونه های انسانی آشکار نموده اند (۶). با توجه به این یافته ها و با نظر به اینکه ژنوم انسان و رت تا حد زیادی با یکدیگر شباهت دارند، بنابراین از دیدگاه ژنتیکی نیز می بایست شباهت های زیادی بین تومورهای پستانی ایجاد شده در رت و تومورهای انسانی وجود داشته باشد. چنانکه در شکل ۲ مشاهده می گردد چهار چوب تشکیلات توموری در نمونه موجود بوده و در برخی مناطق سلول های توموری دارای هسته بزرگ با سیتوپلاسم مشخص هستند و تعداد سلول های در حال نکروز کم می باشد. در سایر مناطق ایجاد واکوئلی شدن در داخل سیتوپلاسم سلولهای توموری دال بر نکروز سلولی می باشد. بافت پشتیبان به صورت نرمال (حاوی سلول و رشته بافت همبند) می باشد و در کل نشانه مورفولوژیکی خاصی دال بر آسیب بافت پشتیبان وجود ندارد.

پس از پایان دوره هی تیمار (رسیدن تومور به اندازه هی نشان داده شده در شکل ۱)، حیوان توسط دی اتیل اتر بی هوش شد و ناحیه ای اطراف تومور را تراشیده و پس از شکافت ناحیه اطراف تومور و در شرایط استریل تومور را بطور کامل خارج کرده و یک قسمت از سه قسمت تومور حاصل در فرمالین ۱۰ درصد قرار داده شد.

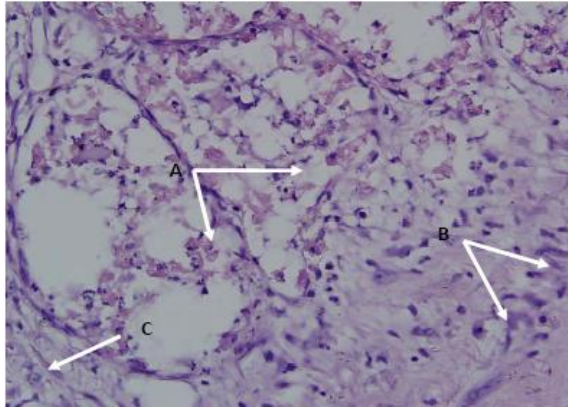


شکل ۱: محل ایجاد تومور بعد از تزریق (7-12 Dimethylbenz(a)anthracene)

مراحل پاساژ بافتی: تومورها با استفاده از دستگاه اتو تکنیکوم (Leica Histokinette) مورد پردازش قرار گرفتند. مراحل با اصلاحات جزئی بر طبق روش کار شرکت سازنده انجام پذیرفت که بطور خلاصه در ادامه بیان می گردد. پس از آب گیری بافت توسط الكل با درجات صعودی شفاف سازی نمونه ها از الكل با جایگزینی توسط زایلن و سپس آغشته سازی با پارافین صورت گرفت و در انتهای نمونه ها با حفظ جهت و نظم و ترتیب اولیه در پارافین قالب گیری شدند. دو قطعه قالب بر روی سطح صاف شیشه ای یا سنگی قرار داده شد و پارافین مذاب به داخل قالب ریخته شد، نمونه ها با حفظ جهت در قالب حاوی پارافین قرار داده شدند و مشخصات هر برش نیز روی کاغذ یادداشت و به وسیله هی پارافین داخل قالب بلوك به پارافین چسبانیده شد. بعد از سرد و سفت شدن پارافین، قالب ها با ضربه مختصراً از پارافین جامد حاوی نمونه جدا گردید و قالب ها تا زمان برش گیری توسط میکروتوم در یخجال نگهداری شدند.

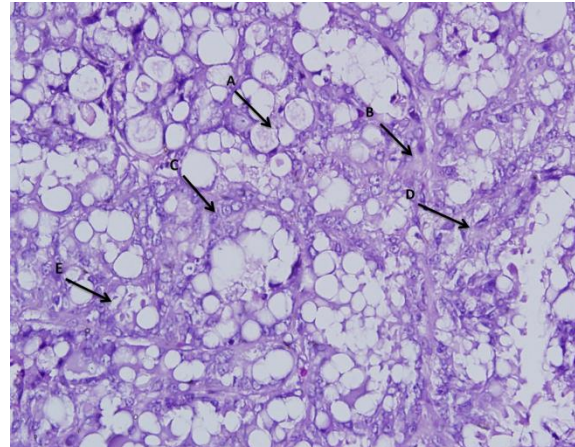
تهییه مقاطع بافتی توسط میکروتوم: برش گیری از بلوك های پارافینی حاوی نمونه توسط میکروتوم و با ضخامت ۳ میکرومتر تهییه شد. سپس جهت رفع چروکیدگی، نمونه ها را با شیب ۳۰ درجه و بر روی حمام آب گرم با درجه حرارت ۴۵ درجه سانتی گراد به روی لام که قبل از روی آن ها چسب آلبومین قرار داده شده بود منتقل گردید. لام ها به روی هیتر منتقل و سپس به روی تخته چوبی قرار داده شد و برای مدت ۱۲ ساعت در فور

اپی تلیال و بقایای حاصل از آن می‌باشد. لازم به ذکر است این نواحی، نواحی نزدیک به منطقه نفوذ رادیودارو می‌باشد و مناطق اطراف محل تزریق دارو به شعاع حدود ۷ تا ۸ میلی‌متر تمامی سلول‌ها نکروزه شده و تشکیل حفره‌ای در داخل تومور داده‌اند.



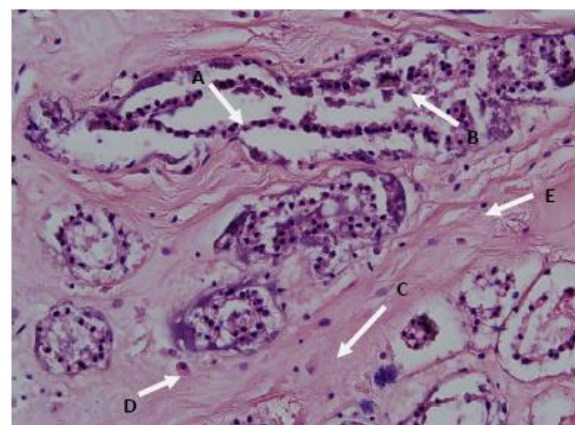
شکل ۳: تصویری از تومور ۷ روز بعد از تزریق رادیوفسفر ۳۲. (رنگ آمیزی هماتوکسیلین هاریس و بزرگنمایی با ابزکتیو ۴۰X) (A) نکروز کامل سلول‌های اپی تلیال ترشحی و مجرایی و باقی ماندن بقایا در محل، B: بافت پشتیبان بسیار متورم همراه با سلول‌های فیبروبلاست، C: حضور اندرک سلول‌های التهابی)

این مشاهدات نشان‌دهنده نفوذ و تاثیر بیشتر تشعشعات ساطع شده از فسفر ۳۲ در بافت توموری را نشان می‌دهد و چنانچه نقاط تزریق با فاصله مناسب در تومور تزریق گردد توانایی نابودی تومور در زمان کوتاه تری را خواهد داشت. بررسی‌های این تحقیق نشان داد که در دو روش تزریق یعنی تزریق صفاقی و تزریق وریدی میزان جذب فسفر ۳۲ در بسیاری از اندام‌ها از جمله رحم، قلب، چربی داخل شکم، و جمجمه مشابه بود ولی بر اساس روش تزریق تجمع این رادیودارو در صفاق و ریه متفاوت دیده می‌شد که به ترتیب مربوط به تزریق داخل صفاقی و تزریق وریدی بود (نمودارهای ۱ و ۲). تفاوت‌های جزئی نیز قابل مشاهده بود از جمله اینکه در هنگام تزریق رادیودارو از طریق ورید تجمع آن در خون، استخوان دست و کبد بیشتر از روش تزریق داخل صفاقی بوده است. ولی در تزریق داخل صفاقی تجمع این رادیودارو در روده بزرگ، طحال و روده کوچک بیشتر دیده می‌شد. از نظر هیستوپاتولوژیکی محل تزریق دارو به شعاع حدود ۷ تا ۸ میلی‌متر باعث مرگ سلول‌های توموری شده بود و در حاشیه آن نیز تغییراتی از جمله هستک‌های بزرگ و برجسته و الگوی کروماتینی وزیکولی مشاهده گردید. لازم به ذکر است که تمامی رت‌های گروه دوم این تحقیق تومورهای سرطانی پستانی را سه ماه بعد از خوراندن DMBA بروز دادند و هیچ



شکل ۲: تصویری از تومور ۳ روز بعد از تزریق رادیوفسفر ۳۲. (رنگ آمیزی هماتوکسیلین هاریس و بزرگنمایی با ابزکتیو ۴۰X) (A) سلول‌های چربی، B: بافت همبند، C: سلول‌های تومور، D: فیبروبلاست، E: واکوئل سازی سلول‌های توموری)

در شکل ۳ که ۵ روز بعد از تزریق رادیوفسفر تهیه شده است مشاهده می‌گردد که مجرای و غدد تومورال توسط باقیمانده‌های سلول‌های اپی تلیال پوشیده شده است و پسیاری از سلول‌ها از غشای پایه جدا شده‌اند و به داخل حفره‌های غددی ریزش پیدا کرده‌اند. سلول‌های باقیمانده دارای هسته کوچک با کروماتینی متراکم و سیتوپلاسم نیز حالت فشرده و متراکم دارد که مجموعاً طرحی شبیه به آپوپتوزیس بوجود آورده‌اند. هر چند ظاهر سلولی با تعاریف مربوط به نکروز سلولی منطبق نمی‌باشد ولی به نظر می‌رسد که سلول‌ها بر اثر تاثیرات رادیودارو در حال از بین رفتن باشند.



شکل ۳: تصویری از تومور ۵ روز بعد از تزریق رادیوفسفر ۳۲. (رنگ آمیزی هماتوکسیلین هاریس و بزرگنمایی با ابزکتیو ۴۰X) (A) سلول‌های اپی تلیال، B: سلول اپی تلیال نکروزی، C: فیبروبلاست، D: ماکروفائز، E: بافت پشتیبان متورم)

در شکل ۴ نیز مراحل توضیح داده شده در فوق، با پیشرفت بیشتری را نشان می‌دهد و فلش‌ها نکروز شدن کامل سلول‌های

منابع

- Zhang DS, Liu L, Jin LD, Wan ML, et al. Effect of phosphorus -32 aglass microspheres on human hepatocellular carcinoma in nude mice. World J Gastroenterol. 2004;10:10551-4.
- Firusian N, Dempke W. An early phase II study of intratumoral P-32 Chromic phosphate injection therapy for patients with. Refractory Solid Tumors & Solitary metastasis. Cancer. Feb 1999; 85(4): 480-987.
- Bomford CK, Kunkler IH. Radiation physics, therapy and oncology. In Walter & Miller's Textbook of Radiotherapy. 6th ed. New York: Chuchill Livigstone. 2002; P: 246.
- Order SE, ASiegel JA, Principato R, Zerger LE, et al. Selective tumor irradiation by infusional brachytherapy in nonresectable pancreatic cancer: a phase I study. Int J Radiat Oncol Biol Phys. 1996; 36(5): 1117-26.
- Russo J, Russo IH. Atlas and Histologic Classification of Tumors of the Rat Mammary Gland. Journal of Mammary Gland Biology and Neoplasia. 2000; 5(2): 187-200.
- Hamta A, Shariatzadeh SMA, Solimani M. Verification of some cancer markers and blood factors in DBMA induced breast cancer on SD rats. Journal of Behbod. 2012; 15(3): 200-207.[Persian]
- McCrea VR, Cornes P. The potential of intratumoural unsealed radioactine Source therapy Eur J Nucl Med. 2001; 28: 2867-9.

یک علائمی دال بر کوچک شده تومور و یا بهبودی نشان ندادند، لذا در بیشتر موارد جهت جلوگیری از زجر کشیدن حیوان آن‌ها را با استفاده از اتاق‌های مرگ حاوی اثر اشباع شده از بین برده و در موارد دیگر خود بر اثر ابتلا به بیماری از بین رفتند.

بحث

همانطور که اشاره شد بعد از تزریق رادیوفسفر مشاهده گردید که مجازی و غدد تومورال توسط باقیمانده‌های سلول‌های اپیتلیال پوشانده شده و اکثر سلول‌ها از غشای پایه جدا شده‌اند و به داخل حفره‌های غددی ریزش پیدا کرده بودند. سلول‌های باقی‌مانده دارای هسته کوچک با کروماتینی متراکم و سیتوپلاسم نیز حالت فشرده و متراکم داشت. این تغییرات از بین رفتن سلول‌های توموری تا شعاع ۷ تا ۸ میلی‌متری محل تزریق رادیودارو را نشان می‌دهد. از نظر هیستوتاپولوژیکی محل تزریق دارو به شعاع حدود ۷ تا ۸ میلی‌متر باعث مرگ سلول‌های توموری شده بود و در حاشیه آن نیز تغییراتی از جمله هستک‌های بزرگ و برجسته و الگوی کروماتینی وزیکولی مشاهده گردید. بر طبق مطالعات انجام شده رادیودارو P32 از محل تزریق به بافت‌های مجاور و جریان خون منتقل نمی‌شود (۲ و ۷). ولی مطالعه این تحقیق نشان داد ۵ روز بعد از تزریق، رادیودارو در تومور می‌توان اثر آن را در جریان خون و مغز استخوان اندازه گیری نمود.

نتیجه گیری

چنانچه نقاط تزریق با فاصله مناسب حدود ۷ تا ۸ میلی‌متر در تومور صورت گیرد توانایی نابودی تومور در زمان کوتاه‌تری را خواهد داشت. جهت نابودی سلول‌های حاشیه ای تومور محاسبه دقیق محل تزریق پیشنهاد و همزمان شیمی درمانی نیز بسیار موثر خواهد بود.

تشکر و قدردانی

بدینوسیله از زحمات آقای فراهانی کارشناس آزمایشگاه که ما را در مراحل مختلف این مقاله کمک و یاری نمودند تشکر و قدردانی می‌گردد. لازم به ذکر است که طرح مذکور با استفاده از حمایت‌های مالی حوزه معاونت پژوهش و فناوری دانشگاه اراک انجام شده است.

Modeling Breast Cancer Using Chemical and Radiopharmaceutical Effect of P32 on Related Cancer Cells

Hamta A. Ph.D.^{1*}, Hamidi S. Ph.D.²

1. Department of Biology, Faculty of Science, Arak University, Arak 38156-8-8349, Iran

2. Department of physics, Faculty of Science, Arak University, Arak 38156-8-8349, Iran

* Email corresponding author: a-hamta@araku.ac.ir

Received: 17 Jul. 2012

Accepted: 20 Nov. 2012

Abstract

Aim: In this article, the ability of P³² radioactive drugs for treatment and control of breast cancer in rat model and also verifying of distribution of drug in rat organs are investigated.

Material and Methods: 10 to 20 mg per kg of DMBA gavaged to SD strain rats. Tumors 15-10 mm in diameter were selected for testing. P32 radioactive drugs injected to developed tumors with interval 3, 5 and 7 days. The distribution of the P32 radioactive drugs in the body of rat were analyzed by NI detector. After the treatment period, animals were anesthetized and the tumor is completely removed under sterile conditions and placed in 10% formalin. Sections of the tumors were obtained and processed using Tissue Processor .After tissue processing and sectioning, the samples were stained with hematoxylin - eosin were examined.

Results: The results obtained from the examining histological sections prepared from tumor tissue confirmed that, the pathology of tumors induced by DMBA in rats used in this study is very similar to human mammary tumors. Five days after injection, we could find tumor's cells and lymph ducts are covered by residual epithelial cells. Many of the cells are separated from the basement membrane and collapsed into the tubular cavity. Rest of the cells has small nuclei, with chromatin condensation mode and cytoplasm was compact and dense. In radius of about 7-8 mm around the site of injection the tumor's cells were necrosis and formed a cavity, inside of tumor.

Conclusions: These observations showed further penetration and influences of radiation emitted from the phosphor 32 in the tumor tissue based on our injection pattern.

Therefore if given the proper distance of injection within the tumor, destroying the tumor's ability to be on time will be shorter.

Key words: Radiation therapy, Breast cancer, P-32, DMBA, Beta radiation